

## 塑性域の拡がりならびに降伏相関関係を考慮した平面骨組の一弾塑性解析

徳島大学大学院

学生員。成行 義文

徳島大学工業短期大学部

正会員 平尾 肇

徳島大学工学部

正会員 鳥嶋 弘行

1 まえがき 漸増節点荷重をうける平面骨組を対象とし、塑性域の拡がりを考慮して解析する場合のM-E関係の求め方とか、残留応力の有無などの種々の条件の相違による解析結果の比較検討については、すでに、文献4)で、片持梁、両端固定梁を対象とした場合について発表したが、本研究では、さらに、門型ラーメン、固定アーチを対象として、これらについて詳しく検討するとともに、より厳密に骨組構造物の弾塑性挙動を把握するために、文献4)の解析方法を曲げと軸力との降伏相関関係を考慮した場合に拡張し、降伏相関関係の影響についても検討したものである。紙面の都合上、ここでは、降伏相関関係を考慮した場合の解析方法について説明し、計算例等については講演会当日発表することにする。

2 解析上の仮定 本研究では、つきのような仮定を設けた。(1)材料の応力ひずみ曲線としては、図-1の(a), (b)のような2種類を考える。ただし図中の $\sigma_y$ は降伏応力、 $E_y$ は降伏ひずみとし、 $E_{ST}$ はひずみ硬化域における弾性係数とする。(2)断面における断面力と変形量の関係は、断面を微小な矩形要素に分割し、また、各要素の物理量はその中心に集中しているものとして、数値積分法により求める。(3)部材は一定断面を有する直線部材とし、断面形状は矩形とする。(4)降伏相関関係には、せん断力は考慮しない。(5)すべての荷重は節点に作用し、その強度は比例的に増加するものとする。

### 3 降伏条件式および弹性限界の条件式

(1) 降伏条件式； $\sigma_i^2 + |m_i| = 1.0$  (2) 弹性限界の条件式； $|n_i| + |m_i| = 1.0$  ただし  $n_i = N / N_p$ ,  $m_i = M / M_p$ ,  $n_2 = N / A \sigma_y$ ,  $m_2 = M / W \sigma_y$  ここで  $N_p$  は全塑性軸力、 $M_p$  は全塑性モーメント、 $A$  は断面積、 $W$  は断面係数である。(1), (2)を図示すれば、図-2 のようである。

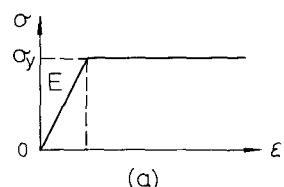
4 断面力と変形との関係 ここでは、最も問題となる降伏曲線近傍における断面力と変形との関係について述べる。本研究では、断面力が、降伏曲線近傍にある断面における  $M-N$ - $\epsilon$  関係は、つきのようにして近似的に求めている。図-3 に示すように断面力を降伏曲線の内側へ  $d\sigma_i$ だけ移動した量に対する  $\epsilon$ 、 $\epsilon$  を数値積分法(文献1)参照)により求め、これを、 $\sigma_i$ に対する  $\epsilon$ 、 $\epsilon$  の近似値とする。移動後の断面力の大きさは、式(3)を満たすように決定する。

$$f(\sigma_i) = 1.0 - \alpha \quad (3) \quad (\text{本研究では、} \alpha \text{ は } 0.012 \text{ とした。})$$

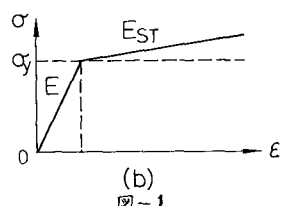
5 变形法の基本式 一部材を10~20程度に細かく分割することを前提に一つの要素に対する变形法の基本式を新たに誘導した。降伏端部材要素に対する基本式は文献2)と同様にして求まるので割愛し、ここでは、非弹性要素に対する基本式について述べる。

1) 部材要素Kにおける曲率 $\phi_{ik}$ 、および軸方向ひずみ $\epsilon_{ik}$  (図-4参照)

部材要素Kの両端を、 $R+1$ の曲率、および、軸方向ひずみを、 $\phi_k$ 、 $\phi_{k+1}$ 、および $\epsilon_{ik}$ 、 $\epsilon_{ik+1}$ とし、要素内では軸力は一定とみなす。要素内の曲率 $\phi_{ik}$ は、



(a)



(b)

図-1

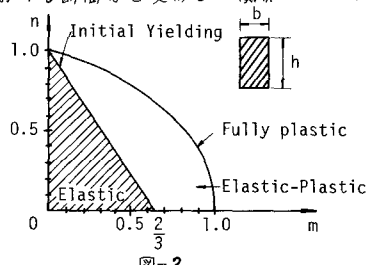


図-2

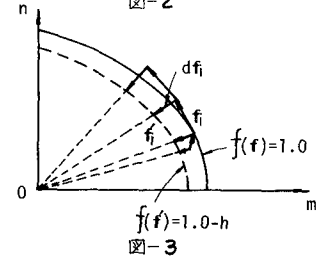


図-3

曲げモーメントの一次式  $\phi_3 = \frac{\alpha_k}{EI} + \frac{\beta_k}{EI} M_3 \dots (4)$  で表わされる  
と仮定する。また、 $\alpha_k$ ,  $\beta_k$ は要素内では定数とみなす。式(4)に境界条件  $\phi_{3=0} = \phi_R$ ,  $M_{3=0} = M'_R$ ,  $\phi_{3=L_k} = \phi_{k+1}$ ,  $M_{3=L_k} = M'_{k+1}$  を用いて。

$$\alpha_k = \frac{EI(\phi_{k+1} M'_k - \phi_R M'_R)}{M'_k - M'_{k+1}}, \quad \beta_k = \frac{EI(\phi_R - \phi_{k+1})}{M'_k - M'_{k+1}} \quad \} \quad (5)$$

要素 K が弾性範囲内にあるときは、 $\phi_k = M'_k / EI$ ,  $\phi_{k+1} = M'_{k+1} / EI$   
となる。これらを式(5)に代入すると、 $\alpha_k = 0$ ,  $\beta_k = 1$  となり、式(4)  
は、弾性範囲内の曲率と曲げモーメントとの関係に一致する。

要素内では、軸方向ひずみ  $\varepsilon_3$  は直線変化するものとし、 $\varepsilon_3 = a + b \xi$   
と表わせば、境界条件  $\varepsilon_{3=0} = \varepsilon_{0k}$ ,  $\varepsilon_{3=L_k} = \varepsilon_{0k+1}$  を用いて

$\varepsilon_3 = \varepsilon_{0k} + (\varepsilon_{0k+1} - \varepsilon_{0k}) \cdot \xi / L_k$  となる。これを式(6)とする。ただし、圧縮ひずみを正とする。

2) 部材要素 K に対する変形法の基本式 (図-5 参照) 部材の湾曲は小さく、 $\frac{d^2\eta_3}{dx^2} = -\phi_3 \dots (7)$  と表わされるものとする。

$M_3 = M_R - Q_R \xi \dots (8)$  であるから、式(7)に、式(4)ならびに式(8)を代入すれば式(9)が得られる。

$\frac{d^2\eta_3}{dx^2} = -\frac{1}{EI} \{ \alpha_k + \beta_k (M_R - Q_R \cdot \xi) \} \dots (9)$  この微分方程式を境界条件  $(\eta_3)_{3=0} = \delta_{0k}$ ,  $(\frac{d\eta_3}{dx})_{3=0} = \theta_{0k}$ ,  $(\eta_3)_{3=L_k} = \delta_{0k+1}$ ,  $(\frac{d\eta_3}{dx})_{3=L_k} = \theta_{0k+1}$  のちに解き、材端モーメント  $M_R$ ,  $M_{k+1}$ , セン断力  $Q_R$ ,  $Q_{k+1}$  について、それを整理して得られた式と、式(6)より得られた軸力  $N_k$ ,  $N_{k+1}$  の式をマトリックス表示すれば、つぎのようになる。

$$\begin{bmatrix} S_k \\ S_{k+1} \end{bmatrix} = \begin{bmatrix} K_{kk} & K_{k,k+1} \\ K_{k+1,k} & K_{k+1,k+1} \end{bmatrix} \begin{bmatrix} \delta_k \\ \delta_{k+1} \end{bmatrix} + \begin{bmatrix} C_k \\ C_{k+1} \end{bmatrix} \quad \text{ただし, } \{S_k^T\} = \{N_k, Q_k, M_k\}, \{S_{k+1}^T\} = \{N_{k+1}, Q_{k+1}, M_{k+1}\}, \{S_k^T\} = \{\delta_{0k}, \delta_{0k+1}, \theta_{0k}\}, \{S_{k+1}^T\} = \{\delta_{0k+1}, \delta_{0k+1}, \theta_{0k+1}\}, \{C_k^T\} = \{0, 0, -\alpha_k / \beta_k\}, \{C_{k+1}^T\} = \{0, 0, \alpha_k / \beta_k\}$$

$$K_{kk,k} = \begin{bmatrix} EA/l_{0k} & 0 & 0 \\ 0 & 12EI/\beta_k l_{0k}^3 & 6EI/\beta_k l_{0k}^2 \\ 0 & 6EI/\beta_k l_{0k}^2 & 4EI/\beta_k l_{0k} \end{bmatrix}, \quad K_{k,k+1} = \begin{bmatrix} -EA/l_{0k} & 0 & 0 \\ 0 & -12EI/\beta_k l_{0k}^3 & 6EI/\beta_k l_{0k}^2 \\ 0 & -6EI/\beta_k l_{0k}^2 & 2EI/\beta_k l_{0k} \end{bmatrix}, \quad K_{k+1,k+1} = \begin{bmatrix} EA/l_{0k+1} & 0 & 0 \\ 0 & 12EI/\beta_{k+1} l_{0k+1}^3 & -6EI/\beta_{k+1} l_{0k+1}^2 \\ 0 & -6EI/\beta_{k+1} l_{0k+1}^2 & 4EI/\beta_{k+1} l_{0k+1} \end{bmatrix}$$

$$r_k = \frac{r_k + r_{k+1}}{2} > 1, \quad r_k, r_{k+1} \text{ は } \varepsilon_{0k} = \frac{r_k}{EI} N_k, \quad \varepsilon_{0k+1} = \frac{r_{k+1}}{EI} N_{k+1} \text{ で定義される非線形要素である。}$$

6 解析手順 荷重強度  $P_{n,0}$  である部材に塑性域あるいは降伏関節が発生し、さらに荷重強度が  $P_{n,1,0}$  となり、新たな材端に塑性域あるいは降伏関節が発生するまでの第9段階目にあいて、m 回目の一定荷重増分を与えた  $P_{n,m}$  に対する解析手順を以下に示す。(1)  $P_{n,m}$  に対する材端力および変位の収束値を繰返し手順により求める。(2) 各材端において弹性限界の条件あるいは降伏条件をおいかどうか判定する。おかさない場合は、一定荷重増分を与えた(1)の手順にかかる。おかす場合は(3)の手順にうつる。(3) 荷重倍数によって荷重強度を繰返し、変更してゆき、最小荷重倍数  $r_{min}$  が 1 に収束した材端に塑性域あるいは塑性関節が発生したものとみなし、その時の荷重強度を  $P_{n,1,0}$  とする。そして構造形式を変更したのち、一定荷重増分を行なった場合に弹性限界の条件あるいは降伏条件をおいかさない最大の荷重強度に一定の荷重増分を加えて、荷重強度を  $P_{n,1}$  に変更して、再び(1)の手順にもとる。以上の(1)~(3)の手順を、骨組全体の行列式が 0 になるか、あるいは節点変位が許容最大節点変位をこえるまで繰返す。

7 結論 本研究で得られた結果を列挙すれば、つぎのようである。(1) 部材の分割数によって解析結果が左右される。(2) 曲げと軸力との降伏関係を考慮した場合と、考慮しない場合とでは、一般に、前者の方が、低い耐荷力を示す。

8 参考文献 1) 児嶋・平尾・武智; 塑性域の拡がりを考慮した鋼構造平面骨組の一弹性解析、徳島大学工学部研究報告、第21号 1976年 2) 児嶋・平尾・吉崎; 曲げと軸力との相關関係を考慮した平面骨組の弹性解析について、昭和50年度中四支部講演会一般講演概要 3) 木原 博; 塑性設計法 森北出版 4) 平尾・児嶋・里見; 塑性域の拡がりを考慮した平面骨組の弹性解析に関する基礎的研究—その2 第31回年次学術講演会講演概要集第1部

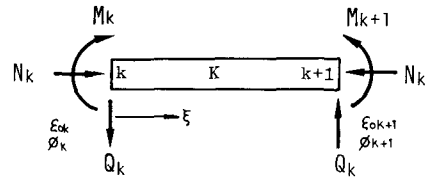


図-4

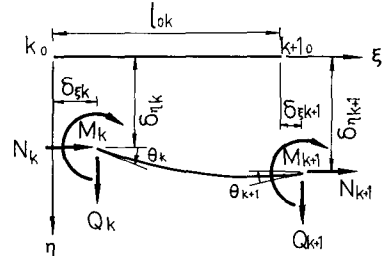


図-5